

$^{176}\text{Yb}(^7\text{Li},x\gamma)$  2000Mc03

Type	Author	History Citation	Literature Cutoff Date
Full Evaluation	M. S. Basunia	NDS 107,791 (2006)	15-Sep-2005

Target: 97% enriched  $^{176}\text{Yb}$ . Projectile: 45 MeV  $^7\text{Li}$  beams. Detector: CAESAR array, consisted of six Compton-suppressed n-type HPGe detectors, compact particle-detector system. Measured:  $E\gamma$ ,  $I\gamma$ ,  $\gamma\gamma$  coin,  $\alpha$ - $\gamma$ - $\gamma(t)$  coin, isomeric level mean life,  $\alpha(\text{exp})$ ,  $\alpha(\text{K})\text{exp}$ .

$^{176}\text{Lu}$  Levels

E(level) <sup>†</sup>	$J^{\pi\ddagger}$	$T_{1/2}^e$	Comments
0.0 <sup>#</sup>	7 <sup>-</sup>	$3.76 \times 10^{10}$ y 7	$T_{1/2}$ : From Adopted Levels.
122.9 25	1 <sup>-</sup>	3.664 h 19	$T_{1/2}$ : From Adopted Levels.
183.9 <sup>#</sup> 7	8 <sup>-</sup>		
194.9 23	1 <sup>+</sup>		
233.9 22	2 <sup>+</sup>		
299.8 22	3 <sup>+</sup>		
372.9 20	4 <sup>+</sup>		
388.7 <sup>#</sup> 7	9 <sup>-</sup>		
425.1 <sup>@</sup> 7	8 <sup>+</sup>	≤2 ns	
489.3 <sup>&amp;</sup> 9	8 <sup>+</sup>	≤6.9 ns	
613.3 <sup>#</sup> 9	10 <sup>-</sup>		
615.4 <sup>@</sup> 8	9 <sup>+</sup>		
635.8 <sup>a</sup> 24	4 <sup>+</sup>	7.8 ns 4	
657.8 <sup>a</sup> 18	5 <sup>+</sup>		
683.2 <sup>&amp;</sup> 8	9 <sup>+</sup>		
709.7 <sup>a</sup> 17	6 <sup>+</sup>		
787.3 <sup>a</sup> 16	7 <sup>+</sup>		
827.4 <sup>@</sup> 8	10 <sup>+</sup>		
857.1 <sup>#</sup> 9	11 <sup>-</sup>		
888.7 <sup>a</sup> 15	8 <sup>+</sup>		
897.6 <sup>&amp;</sup> 9	10 <sup>+</sup>		
1013.4 <sup>a</sup> 15	9 <sup>+</sup>		
1060.8 <sup>@</sup> 9	11 <sup>+</sup>		
1118.8 <sup>#</sup> 9	12 <sup>-</sup>		
1132.3 <sup>&amp;</sup> 9	11 <sup>+</sup>		
1159.8 <sup>a</sup> 13	10 <sup>+</sup>		
1314.4 <sup>@</sup> 10	12 <sup>+</sup>		
1329.2 <sup>a</sup> 18	11 <sup>+</sup>		
1352.3 <sup>b</sup> 8	(10 <sup>+</sup> )	≤2 ns	$J^{\pi}$ : 162.4 $\gamma$ (E2) feeding this level from 12 <sup>+</sup> state at 1514.8 keV and possible two quasiparticle state configuration.
1398.6 <sup>#</sup> 11	13 <sup>-</sup>		
1514.8 <sup>c</sup> 8	12 <sup>+</sup>	312 ns 69	$J^{\pi}$ : 200.3 $\gamma$ M1 to 12 <sup>+</sup> state. Four-quasiparticle isomeric state configuration. $T_{1/2}$ : From time difference spectra.
1518.7 <sup>a</sup> 16	12 <sup>+</sup>		
1587.8 <sup>d</sup> 13	(14 <sup>+</sup> )	40 $\mu\text{s}$ 3	$J^{\pi}$ : 73 $\gamma$ (E2) to the 12 <sup>+</sup> state. Consistent with spin and parity of the near-degenerate 13 <sup>+</sup> member of the $K^{\pi}=8_1^+$ band at 1589.1 keV. $T_{1/2}$ : From time spectrum gated on the 162, 184, 241, 258, 402, 487, and 617 keV transitions.
1589.1 <sup>@</sup> 11	13 <sup>+</sup>		

Continued on next page (footnotes at end of table)

<sup>176</sup>Yb(<sup>7</sup>Li,xγ) **2000Mc03** (continued)

<sup>176</sup>Lu Levels (continued)

E(level) <sup>†</sup>	J <sup>π</sup> <sup>‡</sup>	E(level) <sup>†</sup>	J <sup>π</sup> <sup>‡</sup>	E(level) <sup>†</sup>	J <sup>π</sup> <sup>‡</sup>
1693.5 <sup>#</sup> 14	14 <sup>-</sup>	1960.8 <sup>a</sup> 19	14 <sup>+</sup>	2329.4 <sup>#</sup> 17	16 <sup>-</sup>
1730.3 <sup>a</sup> 21	13 <sup>+</sup>	2005.3 <sup>#</sup> 15	15 <sup>-</sup>	2671.3 <sup>#</sup> 18	(17 <sup>-</sup> )
				3022.0 <sup>#</sup>	(18 <sup>-</sup> )

<sup>†</sup> From a least squares fit to the γ-ray energies assuming ΔE=1 keV for all γ-energies.

<sup>‡</sup> From rotational structure and multipolarity assignments in **2000Mc03**.

<sup>#</sup> K<sup>π</sup>=7<sup>-</sup>, configuration=((π 7/2[404])+(ν 7/2[514])).

<sup>@</sup> K<sup>π</sup>=8<sup>+</sup><sub>1</sub>, configuration=((π 7/2[404])+(ν 9/2[624])).

<sup>&</sup> K<sup>π</sup>=8<sup>+</sup><sub>2</sub>, configuration=((π 9/2[514])+(ν 7/2[514])).

<sup>a</sup> K<sup>π</sup>=4<sup>+</sup>, configuration=((π 1/2[541])+(ν 7/2[514])).

<sup>b</sup> K<sup>π</sup>=10<sup>+</sup>, configuration=((π 9/2[514])+(ν 11/2[505])).

<sup>c</sup> K<sup>π</sup>=12<sup>+</sup>, possible configuration=((π,7/2[402])⊗(ν<sup>3</sup>, 9/2[624], 7/2[514],1/2[521])).

<sup>d</sup> K<sup>π</sup>=(14<sup>+</sup>), possible configuration=((π,7/2[402])⊗(ν<sup>3</sup>, 9/2[624], 7/2[514],5/2[512])).

<sup>e</sup> From **2000Mc03**, except otherwise specified.

γ(<sup>176</sup>Lu)

E <sub>γ</sub> <sup>†</sup>	I <sub>γ</sub> <sup>‡</sup>	E <sub>i</sub> (level)	J <sub>i</sub> <sup>π</sup>	E <sub>f</sub>	J <sub>f</sub> <sup>π</sup>	Mult. <sup>#</sup>	α <sup>†</sup>	Comments
39		233.9	2 <sup>+</sup>	194.9	1 <sup>+</sup>			
52.0		709.7	6 <sup>+</sup>	657.8	5 <sup>+</sup>			
65		489.3	8 <sup>+</sup>	425.1	8 <sup>+</sup>			
66		299.8	3 <sup>+</sup>	233.9	2 <sup>+</sup>			
71		1132.3	11 <sup>+</sup>	1060.8	11 <sup>+</sup>			
72		194.9	1 <sup>+</sup>	122.9	1 <sup>-</sup>			
73 <sup>@</sup>		372.9	4 <sup>+</sup>	299.8	3 <sup>+</sup>			
73.0 <sup>@</sup>		1587.8	(14 <sup>+</sup> )	1514.8	12 <sup>+</sup>	E2	9 4	Mult.: Assumed for transition level spin and parities. The α(exp)=9 4 value consistent with both M1(9.51) and E2(12.2). The M1 would imply a reduced transition strength of 1.3 x 10 <sup>-7</sup> W.u., more than two orders of magnitude weaker than expected for a K-allowed M1 transition. In contrast, the assumption of E2 multipolarity implies a reduced transition strength within the expected range.
77.5		787.3	7 <sup>+</sup>	709.7	6 <sup>+</sup>			
101.5		888.7	8 <sup>+</sup>	787.3	7 <sup>+</sup>			
104.9		299.8	3 <sup>+</sup>	194.9	1 <sup>+</sup>			
124.4		1013.4	9 <sup>+</sup>	888.7	8 <sup>+</sup>			
126.3		615.4	9 <sup>+</sup>	489.3	8 <sup>+</sup>			
129.5		787.3	7 <sup>+</sup>	657.8	5 <sup>+</sup>			
139.0		372.9	4 <sup>+</sup>	233.9	2 <sup>+</sup>			
144.1		827.4	10 <sup>+</sup>	683.2	9 <sup>+</sup>			
146.0		1159.8	10 <sup>+</sup>	1013.4	9 <sup>+</sup>			
162.4		1514.8	12 <sup>+</sup>	1352.3	(10 <sup>+</sup> )	(E2)	0.9 4	α: Consistent with either M1(0.969) or E2 (0.576).
179.0		888.7	8 <sup>+</sup>	709.7	6 <sup>+</sup>			
184.0		183.9	8 <sup>-</sup>	0.0	7 <sup>-</sup>			
190.2		615.4	9 <sup>+</sup>	425.1	8 <sup>+</sup>			
193.8		683.2	9 <sup>+</sup>	489.3	8 <sup>+</sup>			
200.3	207 21	1514.8	12 <sup>+</sup>	1314.4	12 <sup>+</sup>	(M1)	0.2 4	
204.9		388.7	9 <sup>-</sup>	183.9	8 <sup>-</sup>			
212.0		827.4	10 <sup>+</sup>	615.4	9 <sup>+</sup>			
214.0		897.6	10 <sup>+</sup>	683.2	9 <sup>+</sup>			

Continued on next page (footnotes at end of table)

$^{176}\text{Yb}(^7\text{Li},x\gamma)$  **2000Mc03** (continued)

$\gamma(^{176}\text{Lu})$  (continued)

$E_\gamma$ †	$I_\gamma$ ‡	$E_i(\text{level})$	$J_i^\pi$	$E_f$	$J_f^\pi$	Mult. #	Comments
224.8		613.3	10 <sup>-</sup>	388.7	9 <sup>-</sup>		
226.0		1013.4	9 <sup>+</sup>	787.3	7 <sup>+</sup>		
226.9		615.4	9 <sup>+</sup>	388.7	9 <sup>-</sup>		
233.7		1060.8	11 <sup>+</sup>	827.4	10 <sup>+</sup>		
234.6		1132.3	11 <sup>+</sup>	897.6	10 <sup>+</sup>		
241.0		425.1	8 <sup>+</sup>	183.9	8 <sup>-</sup>		
243.9		857.1	11 <sup>-</sup>	613.3	10 <sup>-</sup>		
253.9		1314.4	12 <sup>+</sup>	1060.8	11 <sup>+</sup>		
258.0		683.2	9 <sup>+</sup>	425.1	8 <sup>+</sup>		
262.1		1118.8	12 <sup>-</sup>	857.1	11 <sup>-</sup>		
271.5		1159.8	10 <sup>+</sup>	888.7	8 <sup>+</sup>		
275.0		1589.1	13 <sup>+</sup>	1314.4	12 <sup>+</sup>		
280.2		1398.6	13 <sup>-</sup>	1118.8	12 <sup>-</sup>		
282.4		897.6	10 <sup>+</sup>	613.3	10 <sup>-</sup>		
284.9		657.8	5 <sup>+</sup>	372.9	4 <sup>+</sup>		
305.0		1132.3	11 <sup>+</sup>	827.4	10 <sup>+</sup>		
315.8		1329.2	11 <sup>+</sup>	1013.4	9 <sup>+</sup>		
336.0 @		635.8	4 <sup>+</sup>	299.8	3 <sup>+</sup>		
336.0 @		709.7	6 <sup>+</sup>	372.9	4 <sup>+</sup>		
355.0	106 21	1514.8	12 <sup>+</sup>	1159.8	10 <sup>+</sup>	[E2]	$E_\gamma$ : Placement of transition in the level scheme is uncertain.
358.9		1518.7	12 <sup>+</sup>	1159.8	10 <sup>+</sup>		
382.3	257 12	1514.8	12 <sup>+</sup>	1132.3	11 <sup>+</sup>	[M1]	
388.7		388.7	9 <sup>-</sup>	0.0	7 <sup>-</sup>		
396.0	13 6	1514.8	12 <sup>+</sup>	1118.8	12 <sup>-</sup>	[E1]	
401.1		1730.3	13 <sup>+</sup>	1329.2	11 <sup>+</sup>		
402.4		827.4	10 <sup>+</sup>	425.1	8 <sup>+</sup>		
408.0		897.6	10 <sup>+</sup>	489.3	8 <sup>+</sup>		
425.0		425.1	8 <sup>+</sup>	0.0	7 <sup>-</sup>		
429.5		613.3	10 <sup>-</sup>	183.9	8 <sup>-</sup>		
442.1		1960.8	14 <sup>+</sup>	1518.7	12 <sup>+</sup>		
445.0		1060.8	11 <sup>+</sup>	615.4	9 <sup>+</sup>		
449.2		1132.3	11 <sup>+</sup>	683.2	9 <sup>+</sup>		
454.2	197 30	1514.8	12 <sup>+</sup>	1060.8	11 <sup>+</sup>	[M1]	
454.6		1352.3	(10 <sup>+</sup> )	897.6	10 <sup>+</sup>		
468.4		857.1	11 <sup>-</sup>	388.7	9 <sup>-</sup>		
486.8		1314.4	12 <sup>+</sup>	827.4	10 <sup>+</sup>		
505.6		1118.8	12 <sup>-</sup>	613.3	10 <sup>-</sup>		
524.8		1352.3	(10 <sup>+</sup> )	827.4	10 <sup>+</sup>		
527.9		1589.1	13 <sup>+</sup>	1060.8	11 <sup>+</sup>		
541.1		1398.6	13 <sup>-</sup>	857.1	11 <sup>-</sup>		
574.7		1693.5	14 <sup>-</sup>	1118.8	12 <sup>-</sup>		
606.7		2005.3	15 <sup>-</sup>	1398.6	13 <sup>-</sup>		
617.0	217 29	1514.8	12 <sup>+</sup>	897.6	10 <sup>+</sup>	(E2)	Mult.: From $\alpha(K)\text{exp}=0.010$ 3.
635.9		2329.4	16 <sup>-</sup>	1693.5	14 <sup>-</sup>		
658.0	9 4	1514.8	12 <sup>+</sup>	857.1	11 <sup>-</sup>	[E1]	
666.0 &		2671.3	(17 <sup>-</sup> )	2005.3	15 <sup>-</sup>		
669.0		1352.3	(10 <sup>+</sup> )	683.2	9 <sup>+</sup>		
687.1	51 19	1514.8	12 <sup>+</sup>	827.4	10 <sup>+</sup>	[E2]	
692.0 &		3022.0	(18 <sup>-</sup> )	2329.4	16 <sup>-</sup>		
736.0		1352.3	(10 <sup>+</sup> )	615.4	9 <sup>+</sup>		
738.3		1352.3	(10 <sup>+</sup> )	613.3	10 <sup>-</sup>		
863.2		1352.3	(10 <sup>+</sup> )	489.3	8 <sup>+</sup>		
927.1		1352.3	(10 <sup>+</sup> )	425.1	8 <sup>+</sup>		

Continued on next page (footnotes at end of table)

$^{176}\text{Yb}(^7\text{Li},x\gamma)$  2000Mc03 (continued) $\gamma(^{176}\text{Lu})$  (continued)

$E_\gamma$ <sup>†</sup>	$I_\gamma$ <sup>‡</sup>	$E_i(\text{level})$	$J_i^\pi$	$E_f$	$J_f^\pi$	Mult. <sup>#</sup>
963.0		1352.3	(10 <sup>+</sup> )	388.7	9 <sup>-</sup>	
1126.5	12 5	1514.8	12 <sup>+</sup>	388.7	9 <sup>-</sup>	[E3]

<sup>†</sup> From 2000Mc03.

<sup>‡</sup> Reported for only depopulating  $\gamma$ -rays from the 14<sup>+</sup> state at 1514.8 keV level, except 162.4 $\gamma$ .

<sup>#</sup> From  $\alpha(\text{exp})$  and level scheme in 2000Mc03.

<sup>@</sup> Multiply placed.

<sup>&</sup> Placement of transition in the level scheme is uncertain.

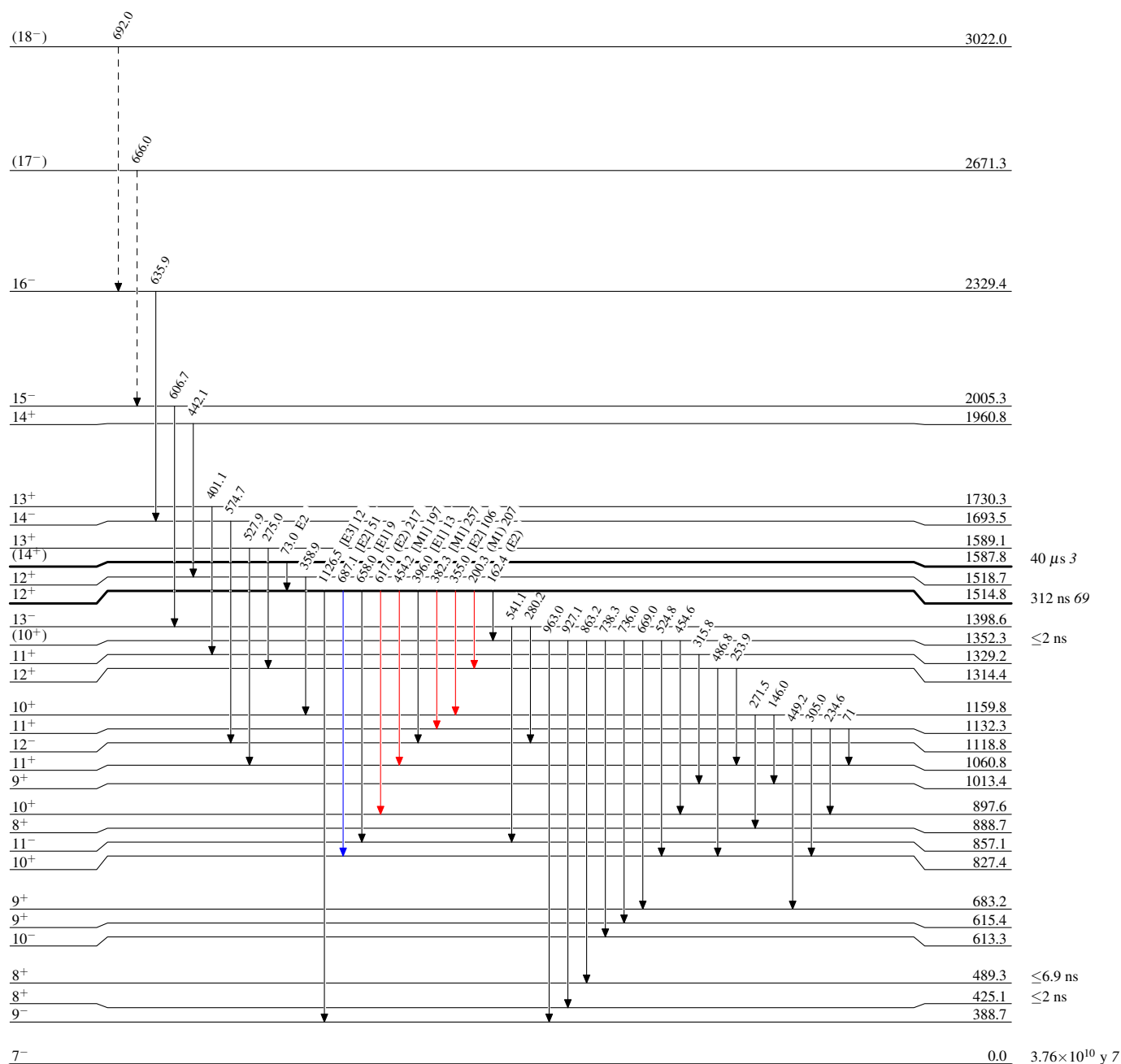
$^{176}\text{Yb}(^7\text{Li},x\gamma)$  2000Mc03

Legend

Level Scheme

Intensities: Relative  $I_\gamma$

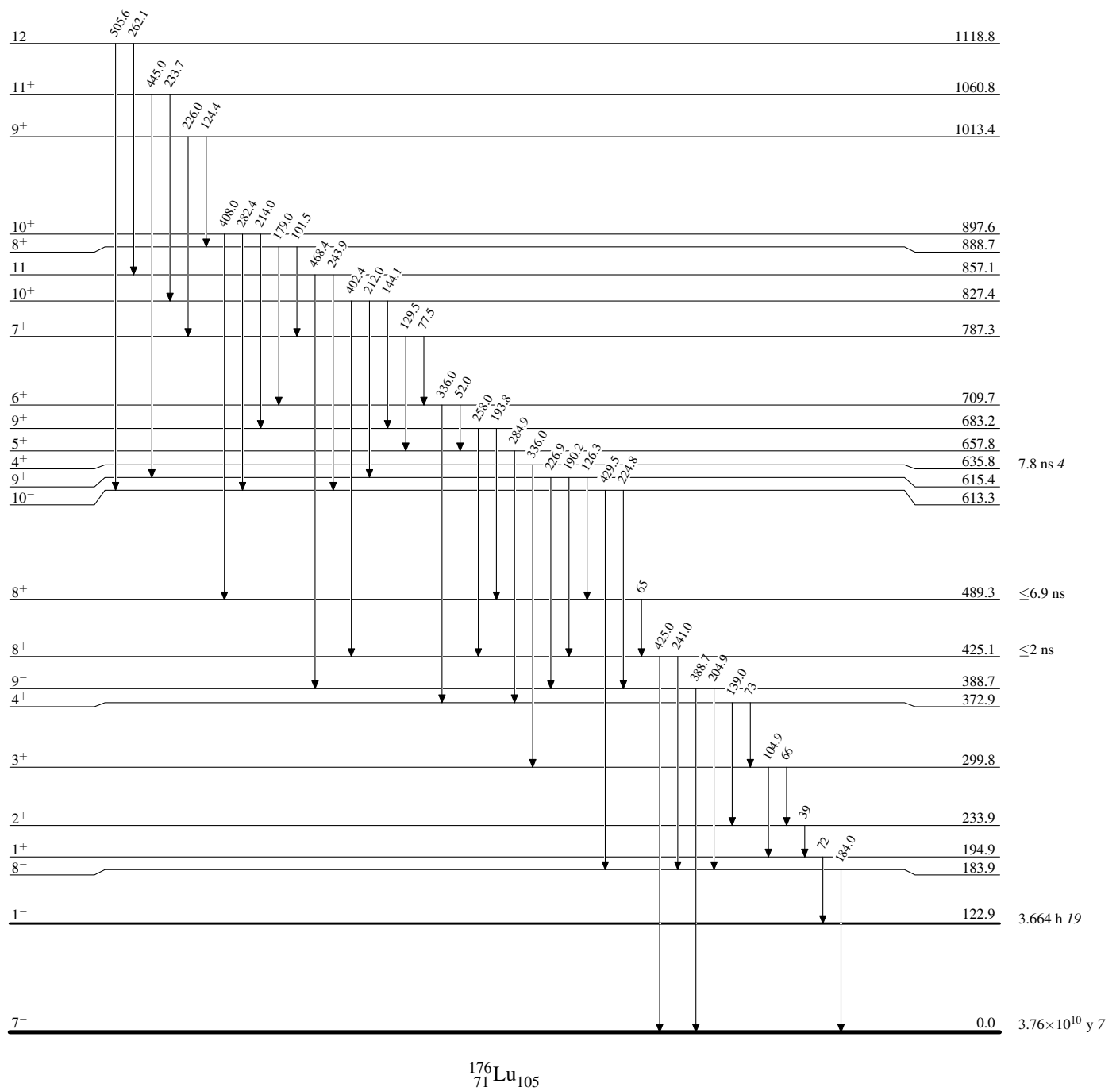
- ▶  $I_\gamma < 2\% \times I_\gamma^{max}$
- ▶  $I_\gamma < 10\% \times I_\gamma^{max}$
- ▶  $I_\gamma > 10\% \times I_\gamma^{max}$
- - - -▶  $\gamma$  Decay (Uncertain)



$^{176}_{71}\text{Lu}_{105}$

$^{176}\text{Yb}(^7\text{Li},x\gamma)$  2000Mc03

## Level Scheme (continued)

Intensities: Relative  $I_\gamma$  $^{176}_{71}\text{Lu}_{105}$